

Спектральное распределение фотопроводимости. Валентная зона кристаллов $A^I B^{II} C_2^{IV}$ расщеплена кристаллическим полем и спин-орбитальным взаимодействием на три подзоны Γ_7 , Γ_6 , Γ_7 , [1], соответственно в спектрах электроотражения $AgGaSe_2$ присутствуют три экситонные серии A , B и C , но в $AgGaS_2$ наблюдаются лишь два пика A и B [2], что является основанием для предположения о близости энергий подзон Γ_6 и Γ_7 в $AgGaS_2$. Детали структуры низкотемпературных спектров отражения $AgGaS_2$, [3] в области B -экситона привели к выводу о том, что энергии B - и C -экситонов отличаются на 0.03 эВ. Для выяснения зависимости спин-орбитального расщепления валентных подзон (рис. 1). Эта зависимость приведена на рис. 2; видно, что она согласуется с имеющимися для $AgGaS_2$ и $AgGaSe_2$ данными [2, 3] и подтверждает, что расщепление нижних валентных подзон уменьшается в сторону $x=0$ до величины, близкой к нулю.

Спектр люминесценции. Люминесценция исследовалась при импульсном возбуждении. Это позволило выделить линии излучательной аннигиляции экситонов, поскольку пикиовая интенсивность в импульсе лазера столь велика, что примесная люминесценция насыщается и создаются благоприятные условия для наблюдения люминесценции A -экситона в несовершенных образцах с x , отличным от 0 и 1. Этот эксперимент подтвердил данные о $E_g(x)$, полученные из спектров поглощения.

В $AgGaS_2$ исследована кинетика люминесценции двух экситонных состояний — свободного и связанного — при $T=4$ и 77 К (рис. 3). Время затухания соответствующих полос в условиях межзонного возбуждения оказалось практически одинаковым и равным 30 нс. Ожидалось, что увеличение уровня возбуждения будет менять относительные интенсивности полос в пользу свободного экситона вследствие насыщения экситона, связанного на дефекте. В действительности наблюдается обратная картина, которую мы интерпретируем следующим образом: связанный экситон соответствует комплексу с участием нейтрального дефекта, и в компенсированном полупроводнике, где при низких температурах большинство дефектов заряжено, интенсивное световое возбуждение преобразует заряженные дефекты в нейтральные и, таким образом, обеспечивает сверхлинейный рост интенсивности линии связанного экситона.

Список литературы

- [1] Tell B., Kasper H. M. // Phys. Rev. B. 1973. V. 7. N 2. P. 740—748.
- [2] Tell B., Shay J. L., Kasper H. M. // Phys. Rev. B. 1972. V. 6. N 8. P. 3008—3012.
- [3] Artus L. // J. Phys. C. 1987. V. 20. N 9. P. 1365—1373.

Ленинградский государственный университет
Ленинград

Поступило в Редакцию
10 июля 1989 г.

УДК 548.4

© Физика твердого тела, том 32, № 2, 1990
Solid State Physics, vol. 32, N 2, 1990

СУПЕРИОННЫЕ ПРОВОДНИКИ В СИСТЕМЕ $Na_5FeP_2O_9$ — NaF

А. К. Иванов-Шиц, С. Е. Сигарёв, В. А. Тимофеева

Интенсивный поиск новых суперионных материалов в классе $Na_{8-z}M'P_2O_9$ (где M — катион металла, z — валентность катиона M) привел к синтезу кристаллов $Na_6CaP_2O_9$, [1] и $Na_4TiP_2O_9$, [2—4], в которых проводимость обусловлена переносом ионов натрия.

С целью дальнейшего исследования аналогичных систем в данной работе изучены электролитические свойства монокристаллов $\text{Na}_{5-x}\text{FeP}_2\text{O}_{9-x}\text{F}_x$, выращенных по методу раствор-расплавной кристаллизации [5].

Формульный состав образцов был установлен по данным рентгеноструктурного анализа [6] и отвечает значению $x \sim 0.4$. Величину сопротивления (проводимости) монокристаллов в интервале температур 290–780 К определяли из анализа годографов имmittанса электрохимической

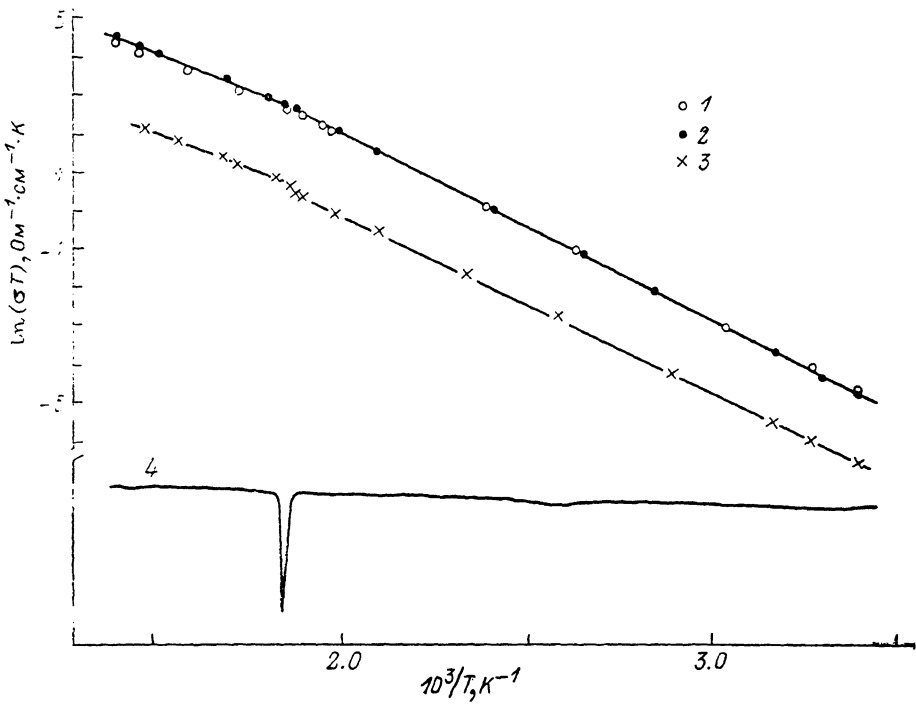


Рис. 1. Температурные зависимости ионной проводимости: $\parallel a$ (3), $\parallel b$ (2), $\parallel c$ (1) и кривая ДСК (4) $\text{Na}_{4.6}\text{FeP}_2\text{O}_{8.6}\text{F}_{0.4}$.

ячейки $C/\text{Na}_{4.6}\text{FeP}_2\text{O}_{8.6}\text{F}_{0.4}/C$; используемый диапазон частот составлял от 5 до $5 \cdot 10^5$ Гц. Оценка электронной составляющей проводимости (проведенная с использованием метода Хебба—Вагнера [7]) дает при $T \sim 700$ К значение σ_{el} менее 1 % от величины общей проводимости. Этот результат говорит о преимущественно ионном характере переноса заряда в рассматриваемом соединении. Термовые свойства $\text{Na}_{4.6}\text{FeP}_2\text{O}_{8.6}\text{F}_{0.4}$ были изучены с помощью дифференциальной сканирующей калориметрии (ДСК).

На рис. 1 представлены температурные зависимости ионной проводимости, измеренные вдоль направлений, параллельных векторам трансляций ромбической элементарной ячейки $\text{Na}_{4.6}\text{FeP}_2\text{O}_{8.6}\text{F}_{0.4}$ [8]. Полученные результаты свидетельствуют об анизотропии проводимости, хотя в плоскости bc ионная проводимость слабо зависит от направления электрического поля. Отметим еще одну особенность поведения σ : в области $T \sim 545$ К кривые $\sigma(T)$ претерпевают излом (или даже скачкообразное изменение). Энергия активации ионного транспорта E_a при $T < 540$ К составляет 0.41 эВ, тогда как при $T > 550$ К — 0.35 эВ.

В ранее изученном соединении $\text{Na}_4\text{TiP}_2\text{O}_9$ при $T \sim 540$ К нами был обнаружен [3] структурный фазовый переход, сопровождающийся изменением как σ , так и E_a . Можно предположить, что и в $\text{Na}_{4.6}\text{FeP}_2\text{O}_{8.6}\text{F}_{0.4}$ при $T \sim 535 \div 545$ К имеет место фазовое превращение. При этих же температурах на кривой ДСК (рис. 1) регистрируется пик, соответствующий

изменению теплоемкости изученного кристалла. Температура максимума пика слегка варьируется при температурном циклировании и при нагреве лежит в области 543–548 К.

При охлаждении образца температурный гистерезис достигает 10–12°. Следует также отметить, что для некоторых образцов в окрестности ~353 К отмечается аномальный ход кривых ДСК, однако детального исследования этого явления мы не проводили.

Термообработка образца существенным образом влияет на температурный ход σ в окрестности фазового перехода. Для образца, закаленного на воздухе быстрым охлаждением (от ~900 К), результаты определения σ при первом цикле измерений (с повышением температуры) указывают на существование ярко выраженного фазового перехода (рис. 2, кривая 1). При обратном ходе (с понижением температуры) фазовый переход «ма-

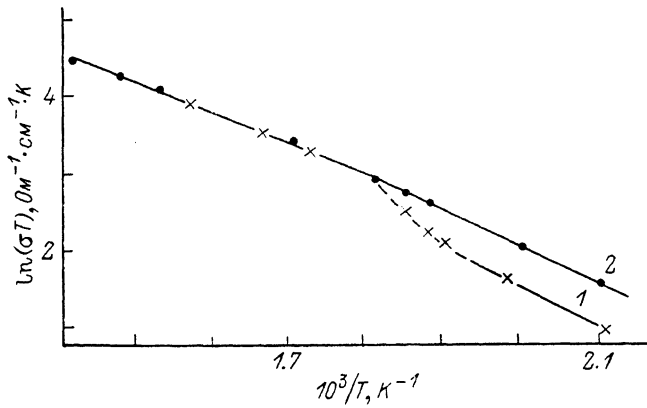


Рис. 2. Температурные зависимости ионной проводимости монокристалла $\text{Na}_{4.6}\text{FeP}_2\text{O}_{8.6}\text{F}_{0.4}$ (|| a) вблизи точки фазового перехода.

кируется» и можно отметить лишь изменение E_a (рис. 2, кривая 2). График $\sigma(T)$ обратного цикла идентичен аналогичной кривой для исходного (не подвергавшегося тепловой обработке) монокристалла. Эффект влияния предыстории образца на поведение проводимости при фазовых переходах отмечался и для других суперионных проводников [8, 9] и может быть связан с существованием метастабильных состояний потенциально подвижных катионов натрия в кристаллографически неэквивалентных позициях. В пользу такого предположения свидетельствует и изменение величин теплового эффекта при фазовом переходе. Так, например, при первом цикле нагрева тепловой эффект (теплота перехода) составлял ~0.3 кДж/моль, а при последующих циклах почти в два раза больше — 0.57 кДж/моль. Интересно отметить, что указанные значения теплоты перехода примерно на порядок меньше соответствующей величины для фазового перехода в $\text{Na}_4\text{TiP}_2\text{O}_9$ ($Q \simeq 5.24$ кДж/моль).

Таким образом, полученные нами данные свидетельствуют о том, что соединение $\text{Na}_{4.6}\text{FeP}_2\text{O}_{8.6}\text{F}_{0.4}$ ($x \sim 0.4$) обладает высокой ионной проводимостью $\sigma_{530\text{K}} \sim 4 \cdot 10^{-2} \Omega^{-1} \cdot \text{см}^{-1}$. При $T \sim 545$ К указанный суперионик претерпевает фазовый переход, сопровождающийся понижением энергии активации ионного транспорта. Характер и особенности обнаруженного фазового перехода требуют дальнейшего исследования.

Список литературы

- [1] Takahashi T., Kuwabara K., Shibata M. // Extend. Abstract. III Internat. Confer. on Solid Electrol. Tokyo, 1981. P. 239–241.
- [2] Мацуоки Ф., Кацу О., Симми А. // Яп. патент СО1В 25/45, НО1В 1/06 N 56-109064.
- [3] Иванов-Шиш А. К., Сигарёв С. Е., Белов О. И. // ФТТ. 1986. Т. 28. № 9. С. 2898–2900.

- [4] Орлюкас А. С., Микученис В. Ф., Кеженис А. П. и др. // Лит. физ. сб. 1988.
[5] Тимофеева В. А. Рост кристаллов из раствора в расплаве. М., 1978. 267 с.
[6] Голубев А. М., Максимов Б. А., Мельников О. К. и др. // Кристаллография. 1989. Т. 34. № 6.
[7] Wagner C. // Z. Elektrochem. 1956. Bd 60. S. 4—7.
[8] Davies P. K., Garzon F., Feist T. e. a. // Sol. St. Ionics. 1986. V. 18 & 19. N 1—2. P. 1120—1125.
[9] d'Yvoire F., Pintard-Screpel M., Bretey E. e. a. // Sol. St. Ionics. 1983. V. 9 & 10. N 1—2. P. 851—858.

Институт кристаллографии АН СССР
Москва

Поступило в Редакцию
13 июля 1989 г.

УДК 621.315

© Физика твердого тела, том 32, № 2, 1990
Solid State Physics, vol. 32, N 2, 1990

РЕЛАКСАЦИЯ ЭКСИТОНОВ В $Pb_{1-x}Cd_xI_2$ С ВАРЬИРУЕМОЙ КОНСТАНТОЙ ЭКСИТОН-ФОНОННОЙ СВЯЗИ

M. С. Бродин, И. В. Блонский, А. С. Кроцук, Т. Я. Стецишин

1. Интерес к твердому раствору (ТР) замещения $Pb_{1-x}Cd_xI_2$ связан с двумя присущими ему отличительными свойствами: возможностью непрерывно изменять в широких пределах величину константы экситон-

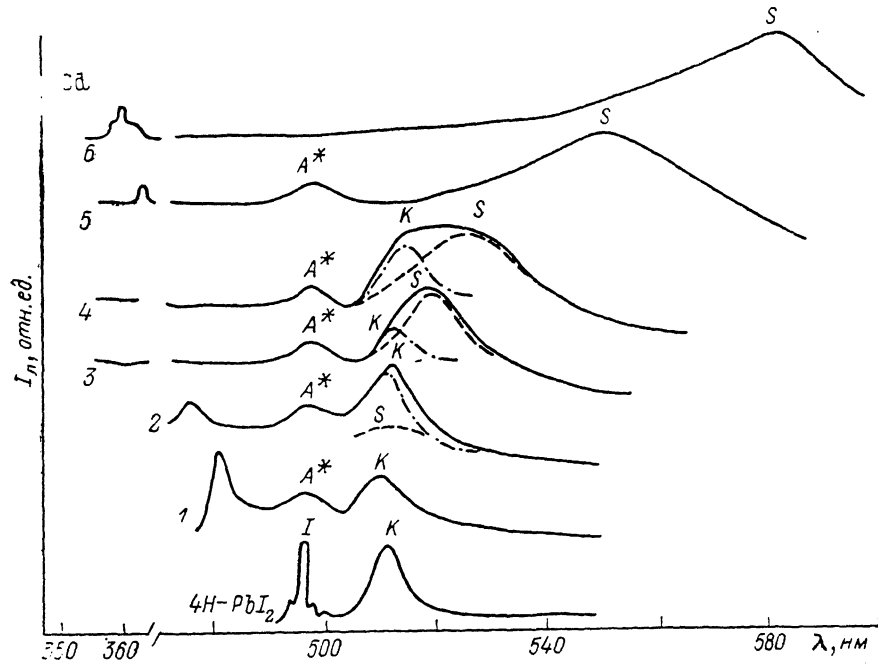


Рис. 1. Низкотемпературные (4.5 К) спектры ФЛ $Pb_{1-x}Cd_xI_2$ различного состава x (сплошная линия).

Штрихпунктирная линия в области самой длинноволновой полосы отвечает фрагменту спектра ФЛ фазы $4H\text{-PbI}_2$ в матрице $Pb_{1-x}Cd_xI_2$, штриховая — спектру ФЛ матрицы $Pb_{1-x}Cd_xI_2$. Cd, %: 1 — 10, 2 — 30, 3 — 50, 4 — 70, 5 — 90, 6 — 100.

фононной связи Λ путем изменения компонентного состава (x) [1] и присутствием в матрице $Pb_{1-x}Cd_xI_2$ микрообластей $4H$ политипа PbI_2 , однозначно идентифицированных ранее по спектрам комбинационного рассеяния света [2]. Такая возможность управления величиной Λ открывает